

⁹⁸Sr 两准粒子带研究*

李明亮^{1;1)} 朱胜江¹ J. H. Hamilton² A. V. Ramayya² J. K. Hwang²
车兴来¹ 禹英男¹ I. Y. Lee³ J. O. Rasmussen³ Y. X. Luo^{2,3}

1 (清华大学物理系 北京 100084))

2 (Department of Physics, Vanderbilt University, Nashville, Tennessee 37235, USA))

3 (Lawrence Berkeley National Laboratory, Berkeley, California 94720, USA)

摘要 通过对²⁵²Cf 的自发裂变产生的瞬发 γ 谱的分析, 对丰中子核⁹⁸Sr 的集体转动带进行了研究。扩展了建立在1838keV能级上的 $K=3$ 的转动带。新发现了一个建立在2535keV能级上的 $K=6$ 的转动带。通过分析, 这两个带的带头组态都是 $\nu_{9/2}[404] \otimes \nu_{3/2}[411]$, 分别满足关系 $\Omega = |\Omega_1 - \Omega_2|$ 和 $\Omega = |\Omega_1 + \Omega_2|$ 。用延迟符合方法测量, 我们得到 $K=3$ 和 $K=6$ 的两个带的半衰期分别是 13 ± 3 ns和 4.5 ± 1.0 ns。

关键词 自发裂变 准粒子带 半衰期 延迟符合

核⁹⁸Sr ($Z = 38, N = 60$) 位于 $A = 100$ 的丰中子区。该区核有重要特性, 如 $Z = 40$ 的满壳效应, $N = 56$ 的亚球壳层和 $N \geq 60$ 核的基态大形变。随着 γ 探测器阵列的发展, 该区核的研究工作也取得了很大的进展。一个重要的方面是偶偶核的两准粒子转动带, 如^{100,102}Zr^[1,2], ^{104,106}Mo^[3,4] 和¹¹⁰Ru^[5], 以及奇 A 核的单准粒子转动带, 如⁹⁷Sr^[6] 和⁹⁹Zr^[7]。在前人的工作中, 通过分析自发裂变的瞬发 γ 谱, ⁹⁸Sr 的晕带已经被观测到 10^+ 能级^[1,8]。最近, 通过 β 衰变的方法, 在⁹⁸Sr 中建立了一个 $K=3$ 两准粒子带。本文报道⁹⁸Sr 新的高自旋态, 两准粒子转动带和带头能级的寿命。

⁹⁸Sr 核的高自旋态是通过测量²⁵²Cf 的自发裂变产生的瞬发 γ 谱而进行研究的。实验是众多研究组联合在美国洛伦兹伯克利国家实验室(LBNL)的Gammasphere 上进行的。用105个反康探测器组成的阵列测量由²⁵²Cf 的自发裂变产生的瞬发 γ 谱, 记录三重以上符合事件, 实验详细描述见文献[9—12]。数据分析在清华大学进行。重核自发裂变的两中等质量的核, 通常称它们互为互补核, 且一般它们的衰变谱有符合关系。这也为我们分析 γ 谱的归属

提供了重要的依据。

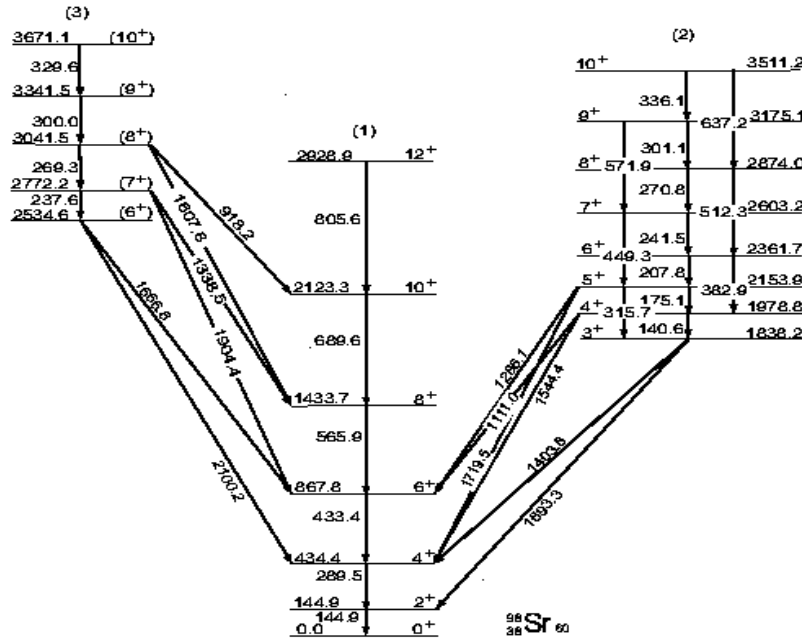
本工作建立的能级纲图如图1所示。晕带带(1), 已在文献[1,8]报道过的能级被确认, 并新加了一个2928.9keV的 10^+ 态能级。分别建立在1838.2keV 和2534.6keV上的带(2)和带(3), 也在我们的工作中明确地建立。在带(2)中, 只有两个能级1838.2keV, 1978.8keV和一个连接跃迁140.6keV在文献[13]中有过报道。我们把带(2)自旋态扩展到 $10\hbar$ 。带(2)的 $\Delta I = 1$ 的跃迁比 $\Delta I = 2$ 的跃迁强。在新指定的带(3)中, 我们只观察到 $\Delta I = 1$ 的跃迁。另外我们观察到三个带之间的许多连接跃迁。

带(2)的带头1838.2keV已经被指定为一个同质异能态, 半寿命 $T_{1/2} = 7.1$ ns, 并将其组态指定为 $\nu_{9/2}[404]\nu_{3/2}[411]$ ($K^\pi = 3^+$)。我们接受该指定, 并指定了其他能级的自旋和宇称, 如图1所示。

带(3)包括几条低能级跃迁, 带头是两准粒子组态。相似的带结构也在相邻同中子核¹⁰⁰Zr^[2] 中观察到, 在¹⁰⁰Zr 中建议其带头的组态是 $\nu_{9/2}[404]\nu_{3/2}[411]$ 。基于和邻近核的系统学比较, 我们指定带(3)的带头能级2534.6keV的组态也为 $\nu_{9/2}[404]\nu_{3/2}[411]$ ($K^\pi = 6^+$)。这个组态和带(2)一样, 但带头的 K^π 不一样。

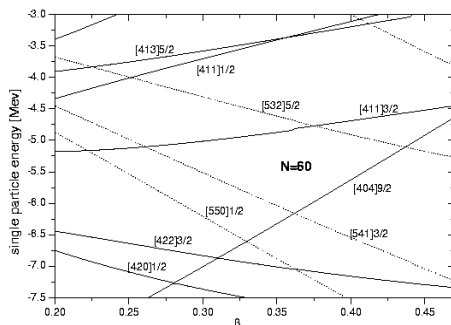
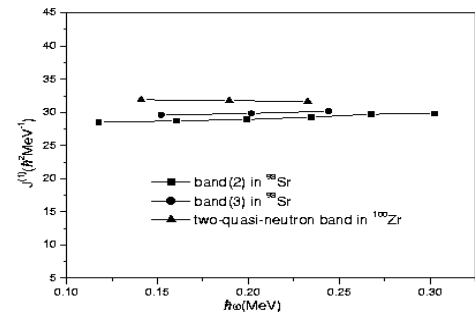
* 国家重点基础研究发展计划项目(G2000077405), 国家自然科学基金(10375032), 教育部博士点基金(20030003090)项目和美国能源部(DE-FG05-88ER4047)资助

1) E-mail: liml03@mails.tsinghua.edu.cn

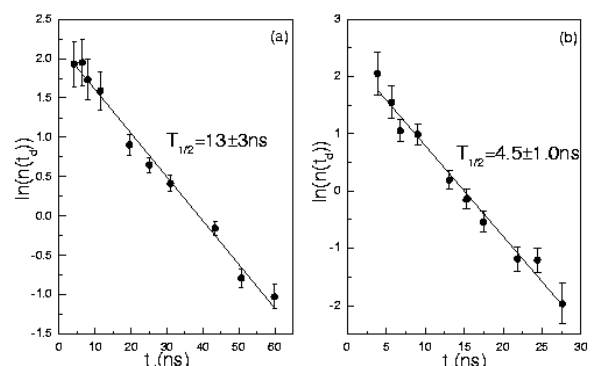
图1 ^{98}Sr 的部分能级纲图

正如在文献[14]指出, $K^\pi = 3^+$ 的带(2)和 $K^\pi = 6^+$ 的带(3)有相同的组态. 这是由于Gallagher-Moszkowski相互作用的结果^[15,16], $K^\pi = 3^+$ 的态对应 $|\Omega_1 - \Omega_2|$, 而 $K^\pi = 6^+$ 的态对应 $|\Omega_1 + \Omega_2|$. 在相邻的奇 Z 核 ^{99}Y 中, 也发现了这种结构^[15]. 为了进一步理解这种组态结构, 我们进行了基于Woods-Saxon势的Nilsson能级计算, 所得的单粒子能级图如图2所示. 靠近费米面的中子轨道是 $\nu_{9/2}$ [404], $\nu_{3/2}$ [411] 和 $\nu_{3/2}$ [541], 它们应该与 ^{98}Sr 的较低准粒子激发有关. 因而, 我们指定带(2)和带(3)的组态为 $\nu_{9/2}$ [404] $\nu_{3/2}$ [411]. 在相邻的奇 A 核 ^{97}Sr 中基于 $\nu_{9/2}$ [404] 和 $\nu_{3/2}$ [411] 单粒子轨道的形变带^[6,17]的存在, 也为我们的指定提供了新的依据.

图3是转动惯量 $J^{(1)}$ 随转动频率 ω 的变化图. 图中包括带(2), 带(3)和 ^{100}Zr 的 $\nu_{9/2}$ [404] $\nu_{3/2}$ [411] 带的转动惯量. 它们有相似的性质, 三条带的 $J^{(1)}$ 的值都几乎是常数. 这有力地支持了我们的指定.

图2 $N=60$ 区的中子Nilsson能级图图3 转动惯量 $J^{(1)}$ 随转动频率 ω 的变化图

用延迟符合方法, 我们从实验数据中进行了纳秒量级的半衰期分析. 详细分析方法将另文发表. 对 ^{98}Sr 的带(2)和带(3)两带的带头能级寿命分析如图4所示, 1838.2keV能级半寿命为 $13 \pm 3\text{ ns}$, 2534.6keV能级的半寿命是 $4.5 \pm 1.0\text{ ns}$. 值得注意的是, 文献[13]分析1838.2能级半寿命为7.1ns.

图4 ^{98}Sr 的1838.2keV能级(a)和2534.6keV能级(b)退激的延迟符合曲线

参考文献(References)

- 1 Hamilton J H et al. Prog. Part. Nucl. Phys., 1995, **35**: 635
- 2 Durell J L et al. Phys. Rev., 1995, **C52**: R2306
- 3 YANG L M et al. Chin. Phys. Lett., 2001, **18**: 24
- 4 XU R Q et al. Chin. Phys. Lett., 2002, **19**: 180
- 5 JIANG Z et al. Chin. Phys. Lett., 2003, **20**: 350
- 6 Hwang J K et al. Phys. Rev., 2003, **C67**: 054304
- 7 Urban W et al. Eur. Phys. J., 2003, **A16**: 11
- 8 Hotchkis M A C et al. Nucl. Phys., 1991, **A530**: 111
- 9 ZHUS J et al. Phys. Rev., 1999, **C59**: 1316
- 10 ZHUS J et al. Phys. Rev., 1999, **C60**: 051304
- 11 ZHUS J et al. Phys. Rev., 2001, **C65**: 014307
- 12 ZHANG Zheng et al. HEP & NP, 2003, **27**(8): 688—691(in Chinese)
(任敬儒等. 高能物理与核物理, 2003, **27**(8): 688—691)
- 13 Lhersonneau G et al. Phys. Rev., 2002, **C65**: 024318
- 14 Durell J L et al. Acta Phys. Polonica, 2003, **B34**: 2277
- 15 Meyer et al. Nucl. Phys., 1985, **A439**: 510
- 16 Gallagher C J. Phys. Rev., 1962, **126**: 1525
- 17 Lhersonneau G et al. Phys. Rev., 1990, **C41**: 1115

Research on Two-Quasiparticle Bands in ^{98}Sr *

LI Ming-Liang^{1;1)} ZHU Sheng-Jiang¹ J. H. Hamilton² A. V. Ramayya² J. K. Hwang²
CHE Xing-Lai¹ YU Ying-Nan¹ I. Y. Lee³ J. O. Rasmussen³ Y. X. Luo^{2,3}

1 (Department of Physics, Tsinghua University, Beijing 100084, China)

2 (Department of Physics, Vanderbilt University, Nashville, Tennessee 37235, USA)

3 (Lawrence Berkeley National Laboratory, Berkeley, California 94720, USA)

Abstract Through measuring high-fold prompt γ -ray coincidence events of the spontaneous fission of ^{252}Cf with the Gammasphere detector array, rotational bands in neutron-rich ^{98}Sr nucleus have been investigated. A deformed $K=3$ band built on 1838 keV level has been confirmed and extended. Another deformed $K=6$ band based on 2535 keV level has been established. Both bands originate most probably from the $\nu_{9/2}[404] \otimes \nu_{3/2}[411]$ two-quasiparticle configuration with $\Omega = |\Omega_1 - \Omega_2|$ and $\Omega = |\Omega_1 + \Omega_2|$, respectively. Based on the delay-coincidence measurements, the half-lives for the $K=3$ and $K=6$ band head levels has bee obtained to be 13 ± 3 ns and 4.5 ± 1.0 ns, respectively.

Key words spontaneous fission, quasiparticle band, half-life, delay coincidence

* Supported by Major State Basic Research Development Program (G2000077405), National Natural Science Foundation of China(10375032), Doctoral Fund of Ministry of Education of China(20030003090) and U.S. Department of Energy (DE-FG05-88ER40407)

1) E-mail: liml03@mails.tsinghua.edu.cn